

進行波に伴なう地下空洞周辺の過渡応力解析 一積分方程式による一

京都大学工学部 正員 丹羽義次 正員 小林昭一
正員 福井卓雄 学生員。東 憲昭

1. はじめに 地盤や岩盤は 実際には非常に複雑な挙動を示すが 巨視的に見れば 第1近似として弾性体と見なせる場合が多い。そこで 地下空洞を弾性体中にあらざしてモデル化し 2次元弾性問題として取り扱う。この場合のような動的弾性問題の解析についこは いくつかの方法があるが、ここでは 進行波を近似的に調和波の重ね合わせとして表わし、各々の調和波による解を重ね合わせることによつて 進行波による解を得る という方法を用いた。ここでは 調和波による解は積分方程式により解析した。

2. 弾性問題の基礎方程式 等方、均質な完全線形弾性体の運動方程式、構成式、変位とひずみの関係は カルテシアン座標系を用ひて次のようになります。

$$\bar{\epsilon}_{ijj} + \bar{f}_i = \rho \frac{\partial^2 u_i}{\partial t^2}, \quad \bar{\epsilon}_{ij} = \lambda \delta_{ij} \bar{\epsilon}_{kk} + 2 \mu \bar{\epsilon}_{ij}, \quad \bar{\epsilon}_{ij} = \frac{1}{2} (\bar{u}_{ijj} + \bar{u}_{jji})$$

ここに $\bar{\epsilon}_{ij}$, $\bar{\epsilon}_{kk}$, \bar{u}_{ij} , f_i , δ_{ij} は応力テンソル ひずみテンソル 変位ベクトル 物体のベクトルの各成分及び Kronecker のデルタを、 λ , μ は Lame の定数を、 ρ は密度を表わす。これより 变位を表わした基礎方程式 Navier-Cauchy の式が得られる。

$$\mu \bar{u}_{ijjj} + (\lambda + \mu) \bar{u}_{dijj} + \bar{f}_i = \rho \frac{\partial^2 u_i}{\partial t^2} \quad \text{--- ①}$$

この式において いま物体力 $f_i(\bar{x}, \bar{t})$ が 次のような関数で与えられるとする。

$$f_i(\bar{x}, \bar{t}) = \text{Re} \{ f_i(\bar{x}) e^{-i\omega \bar{t}} \} \quad \text{ここに } f_i(\bar{x}) = f_i^{(0)}(\bar{x}) + i f_i^{(1)}(\bar{x})$$

ここで $\text{Re} \{ \cdot \}$ は $\{ \cdot \}$ の実部を意味する。いま ω が対象とする物体の固有振動数と異なる、であれば、変位もまた過渡状態を除いては次のように書き表わせると。

$$\bar{u}_i(\bar{x}, \bar{t}) = \text{Re} \{ u_i(\bar{x}) e^{-i\omega \bar{t}} \} \quad \text{ここに } u_i(\bar{x}) = \bar{u}_i^{(0)}(\bar{x}) + i \bar{u}_i^{(1)}(\bar{x})$$

これを①式に代入すると次のようになる。

$$(C_1^2 - C_2^2) \bar{u}_{dijj} + C_2^2 \bar{u}_{ijjj} + \omega^2 u_i = -\frac{f_i}{\rho}$$

ここに $C_1^2 = (\lambda + 2\mu)/\rho$ $C_2^2 = \mu/\rho$ である。これが調和波の定常状態における基礎方程式であるが、物体力を考へなくともよい場合には次のようになる。

$$(C_1^2 - C_2^2) \bar{u}_{dijj} + C_2^2 \bar{u}_{ijjj} + \omega^2 u_i = 0 \quad \text{--- ②}$$

3. 基本特異解 無限体のある1点 \bar{x} のみに向かう単位の力が作用した時の任意の点 \bar{x}' におけるじき向の変位を $\bar{u}_i^{(0)}(\bar{x}, \bar{x}')$ と表わし これを第1種の基本特異解といふ。一方 応力に相当する $\bar{\sigma}_{ij}^{(0)}(\bar{x}, \bar{x}') = \bar{P}_{ij}^{(0)}(\bar{x}, \bar{x}') = \bar{u}_{ijj}' / \bar{u}_{kk}'(\bar{x}, \bar{x}')$ によって次のように表わされるものを第2種の基本特異解といふ。 $\bar{P}_{ij}^{(0)}(\bar{x}, \bar{x}') = \bar{P}_{ij}^{(0)}(\bar{x}', \bar{x}) = \bar{u}_{ijj}' / \bar{u}_{kk}'(\bar{x}', \bar{x})$ ここに $\bar{u}_{kk}' = \mu [\delta_{kk}' \bar{u}_{kk} + n_k \bar{n}_k + \frac{\lambda}{\mu} n_k \bar{n}_k]$ ここに \bar{u}_{kk}' は法線微分、 n_k は法線ベクトルのじき向成分である。基礎方程式②に対する基本特異解は次のようである。

$$\bar{P}_{ij}^{(0)}(\bar{x}, \bar{x}') = A (\psi \delta_{ij} - x_i n_j - x_j n_i)$$

$$\bar{P}_{ij}^{(0)}(\bar{x}, \bar{x}') = \mu A \{ (\delta_{ij} \frac{\partial r}{\partial n} + n_i n_j + \frac{\lambda}{\mu} n_k n_k) \frac{\partial \psi}{\partial r} - ((\delta_{ij} \frac{\partial r}{\partial n} + n_i n_j) + 2 \cdot (n_i n_i - 2 n_i n_k) \frac{\partial r}{\partial n}) \}$$

$$+ \alpha \frac{\lambda}{\mu} n_2 r_{ij} \} \frac{x}{r} - \{ 2 r_{ij} r_{ij} \frac{\partial r}{\partial x} + \frac{\lambda}{\mu} r_{ij} n_2 \} \frac{\partial x}{\partial r}$$

ここに $r = \sqrt{(x_i - x_j)(x_i - y_j)}$, $\psi = H_0^{(1)}(\xi_2 r) - \frac{1}{\xi_2 r} H_1^{(1)}(\xi_2 r) + \frac{\xi_1^2}{\xi_2^2} \frac{1}{\xi_1 r} H_1^{(1)}(\xi_1 r)$, $x = -H_2^{(1)}(\xi_2 r) + \frac{\xi_1^2}{\xi_2^2} H_2^{(1)}(\xi_1 r)$, $\xi_1 = \frac{\omega}{c_1}$, $\xi_2 = \frac{\omega}{c_2}$, $H_n^{(1)}$ は第1種第n次の Hankel 関数

4. 積分方程式の構成 場の方程式を $L_i U_i = 0$ とすると 相反定理より次のような Betti の公式を得ることができる。

$$\int_V [L_i U_i^{(1)} \cdot U_i^{(2)} - U_i^{(1)} \cdot L_i U_i^{(2)}] dV = \int_S [U_i^{(1)} \cdot \bar{U}_i^{(2)} - U_i^{(2)} \cdot \bar{U}_i^{(1)}] dS$$

ここに $U_i^{(1)}$ と $U_i^{(2)}$ は異なる2つの状態の関数で、Vは領域、Sは境界を表す。この式において $U_i^{(2)}$ に第1種基本特異解、 $U_i^{(1)}$ に②を満足する関数 U_i を代入すると次のような Somigliana の積分公式が導かれる。

$$F(x) U_i(x) = \int_S [U_i^{(1)}(s, x) \cdot \bar{U}_i^{(2)}(s, x) - U_i^{(2)}(s, x) \cdot \bar{U}_i^{(1)}(s, x)] dS \quad s \in S \quad x \in V$$

ここに $F(x)$ は点xが領域の内部、境界上、外部にあるときそれぞれ1, $\frac{1}{2}$, 0の値となる。ここで 領域の境界において境界条件を満足するように 仮想の境界上において $U_i^{(1)}(s, x)$ 及び $U_i^{(2)}(s, x)$ を決めれば 内部の点における $U_i(x)$ が決まるから 結局 境界値問題は S(仮想境界) 上の密度 $\rho_i(s, x)$ 及び $U_i(s, x)$ を求める積分方程式に帰着される。

5. 数値計算例 弹性体中を波(周期 6π で展開したものを Fig. 1 に示す)が進行して 円孔の中央に達したときの応力の様子を Fig. 2 に示した。ここで 破線と実線は フーリエ級数の項数の取り方による計算値の比較である。なお 進行波の位置による値の違いや 变位の様子など詳しい結果は 当日スライドで説明する。

(参考文献)

- (1) 井羽義次 小林昭一、横田和男；積分方程式による任意形状多數空洞周辺の応力解析、土木学会論文報告集 195 pp27~35 (1971)
- (2) Nowacki, W. : "Dynamic of Elastic System" (1963)

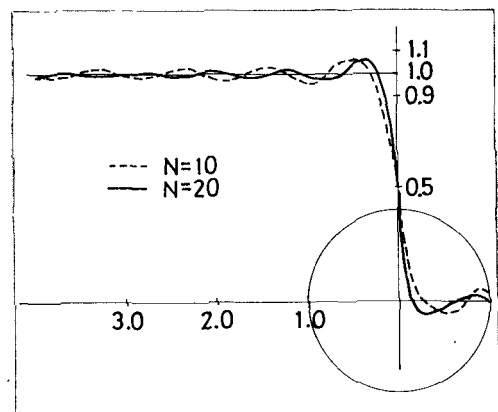


Fig. 1

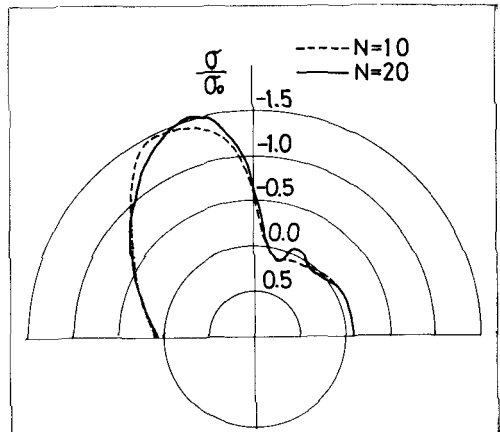


Fig. 2